

رفتار غیر خطی قابهای با سیستم مهاربند زانویی تحت تأثیر زلزله

فرهاد دانشجو* و جلیل عسگری**

گروه سازه، بخش عمران، دانشگاه تربیت مدرس

(دریافت مقاله: ۸۱/۳/۱ - دریافت نسخه نهایی: ۸۲/۳/۲۶)

چکیده - سیستم جدید قاب با مهار بند زانویی (KBF) شامل قاب با مهار قطري است که یک یا هر دو انتهای عضو قطري به عضو زانویی متصل می شود. سختی از طریق عضو قطري و شکل پذیری از طریق تسلیم خمشی عضو زانویی تأمین می شود. در این مقاله، اثر پارامترهای هندسی و مشخصات اعضا بر سختی جانبی ارجاعی قابهای KBF بررسی شده و برای اولین بار، محدوده مناسب برای پارامترهای هندسی که در تأمین سختی لازم سیستم موثرند تعیین شده است. سپس رفتار لرزه‌ای یک نوع از قابهای با مهاربند جدید زانویی (TKBF) و نقش پارامترهای موثر بر رفتار دینامیکی غیر خطی آن تحت تأثیر زلزله‌های ناغان و السنترو بررسی و ارزیابی شده و با رفتار لرزه‌ای سیستمهای هم محور CBF و برون محور EBF مشابه مقایسه شده است. نتایج نشان می دهد که قابهای TKBF از لحاظ کنترل تغییر مکان غیر خطی جانبی و نحوه تشکیل مفاصل پلاستیک و نوع مکانیزم و تغییر مکان قائم تیرهای کف، رفتار لرزه‌ای مناسبتری دارند و بنابراین سختی و شکل پذیری مناسبتری را به صورت توأم تأمین می کنند.

واژگان کلیدی: پاسخ غیر خطی، مهاربند زانویی، زلزله.

Nonlinear Analysis of Knee-braced Frames under Earthquake Loadings

F. Daneshjoo and J. R. Asgari

Civil Engineering Department, Tarbiat Modarres University, Tehran, Iran

Abstract: The new knee-braced frames (KBF) consist of a moment resisting frame and diagonal braces connected to short knee elements. The lateral stiffness is provided by the frame and braces while flexural yielding of the knee elements provides the ductility. In this paper, the effects of geometric parameters on lateral elastic stiffness of KBF frames are studied and the suitable limits for these parameters are determined for the first time. Then, nonlinear dynamic seismic behavior of one kind of KBF frames (TKBF) and the effects of important parameters under Naghan and Elcentro earthquakes are studied and evaluated. The seismic behavior of TKBF frames are compared with CBF and EBF frames. The results prove that suitably designed TKBF frames show better seismic behavior according to lateral nonlinear displacement, plastic hinge propagation, collapse mechanism, and vertical displacements of slabs, and, therefore, provide better stiffness and ductility requirements.

Keywords: Nonlinear response, Knee-braced frame, Earthquake

** - کارشناس ارشد

* - دانشیار

فهرست علائم

KBF	قبا با مهاربند زانویی	CBF	قبا خمسمی با یک مهار بند هم محور
TKBF	قبا خمسمی با یک مهار بند متصل به یک زانویی در بالا	EBF	قبا خمسمی با مهاربند برون محور

۱- مقدمه

تبديل شده و به سیستم قائم انتقال می‌یابد. در قابهای با مهار بند برون محور EBF، عضو قطري به صورت برون محور به تير کف متصل می‌شود. در محل اتصال تير و ستون و باد بند مقداری خروج از مرکزیت ایجاد می‌شود به نحوی که تیر رابط توانایی تحمل تغییر شکلهای بزرگ را داشته باشد و همانند فیوز شکل پذیر عمل کند [۲ و ۷]. لذا یکی از اهداف اصلی در طراحی این قابها در برابر زلزله، جلوگیری از کمانش باد بندها از طریق به وجود آمدن مفاصل پلاستیک برشی و خمسمی در تیرهای رابط می‌باشد. قابهای با مهار بند برون محور از قابلیت هر دو قابهای مقاوم خمسمی و قابهای با مهار بند هم محور بهره گرفته‌اند و بنابراین سختی و شکل پذیری مناسب را به صورت توأم تأمین می‌کنند [۱ - ۲]. تعیین صحیح طول تیرهای رابط و طراحی مناسب آنها بسیار حائز اهمیت‌اند. برخی از شکلهای قابهای با مهار بند برون محور در مرجع [۱] ارائه شده‌اند.

ضوابط طراحی قابهای مقاوم خمسمی MRF، قابهای با مهار بند هم محور CBF و با مهار بند برون محور EBF در مرجع [۸] ارائه شده است. اگرچه قابهای EBF دارای رفتار بسیار مناسبتری‌اند ولی با تسلیم تیر رابط در اثر بارهای زلزله، خسارات جدی به کف وارد خواهد شد و چون این عضو به عنوان یک عضو اصلی سازه‌ای محسوب می‌شود ترمیم سازه نیز مشکل خواهد بود. این موضوع و گسترش مفاصل پلاستیک به تیرها و سپس به ستونها در قابهای EBF، و امکان به وجود آمدن نیروهای نا متعادل بر ستونها در صورتی که تیر رابط از یک مقدار مشخص بزرگ‌تر باشد، و موارد و دلایل دیگر، تمایل به یافتن سیستمهای جدید مقاوم در برابر زلزله با رفتار مناسب‌تر از لحاظ شکل پذیری و سختی جانبی را افزایش می‌دهد. معروفی سیستم جدید قاب خمسمی با مهار بند زانویی^۱ تلاش مضاعفی

سختی و شکل پذیری دو موضوع اساسی در طراحی ساختمانها در برابر زلزله‌اند. ایجاد سختی و مقاومت به منظور کنترل تغییر مکان جانبی و ایجاد شکل پذیری برای افزایش قابلیت جذب انرژی و تحمل تغییر شکلهای خمیری اهمیت دارند. در طراحی ساختمانهای فولادی مقاوم در برابر زلزله، استفاده از سیستمهای قابهای مقاوم خمسمی MRF، قابهای با مهار بند هم محور CBF، و قابهای با مهار بند برون محور EBF رایج است.

قابهای مقاوم خمسمی MRF شامل ستونها و تیرهایی است که توسط اتصالات خمسمی به یکدیگر متصل شده‌اند. سختی جانبی این قابها به سختی خمسمی ستونها، تیرها و اتصالات در صفحه خمسم بستگی دارد. در طراحی این قابها فلسفه تیر ضعیف و ستون قوی حاکم است این امر ایجاب می‌کند که تیرها زودتر از ستونها تسلیم شوند و با شکل پذیری مناسب خود انرژی زلزله را جذب و مستهلك کنند و اتصالات در بارهای حدی با شکل پذیری غیر ارجاعی مناسب خود، قابلیت تحمل تغییر شکلهای خمیری را بالا ببرند. این قابها دارای شکل پذیری مناسب ولی سختی جانبی کمتری‌اند [۱]. قابهای با مهار بند هم محور CBF در برابر زلزله از نظر سختی، مقاومت و کنترل تغییر مکانهای جانبی در محدوده خطی دارای رفتار بسیار مناسبی‌اند، ولی در محدوده غیر ارجاعی به علت سختی جانبی مهار بندها، قابلیت جذب انرژی کمتری دارند و در نتیجه دارای شکل پذیری کمتری‌اند [۱ و ۵]. قابهای با مهار بند هم محور شکلهای مختلفی دارند که در آئین نامه ۲۸۰۰ ایران برخی از آنها معرفی شده است [۵]. در این قابها برش وارد در ابتدا توسط اعضای قطری جذب شده و سپس مستقیماً به نیروی فشاری و کششی

مطالعات و تحقیقات بعدی نشان داد که این موضوع باعث ایجاد ناپایداری در منحنی چرخه‌ای می‌شود. لذا نتیجه گیری شد که مهار بندها همانند عضو فشاری با دو انتهای مفصل طراحی شوند [۱۰-۹]. در سال ۱۹۹۷ نیز آزمایشات دینامیکی عملی بر روی یک مدل بزرگ قاب KBF دو طبقه انجام شد و نتیجه گیری شد که می‌توان عضو زانویی را به نحوی طراحی کرد که این سیستم قابلیت جذب و استهلاک انژرژی را بدون از دست دادن مقاومت جانبی داشته باشد [۱۱]. آسیبهای ناشی از زلزله در این سیستمها در عضو زانویی متتمرکز می‌شود و در نتیجه از انتقال خسارت به اعضای اصلی سازه به میزان قابل ملاحظه‌ای جلوگیری می‌کند. شکل (۲) دو نمونه از اتصال پادیند به زانویی را نشان می‌دهد.

۳- اثر پارامترهای هندسی بر سختی جانبی الاستیک قابهای

KBF

سختی جانبی قاب برابر با نسبت نیروی واردہ بر بالای قاب به تغییر مکان جانبی متناظر با آن در نظر گرفته می‌شود. هر قدر که سختی جانبی قاب بیشتر باشد تغییر مکان جانبی متناظر با آن کمتر می‌شود. سختی جانبی الاستیک قاب K تابعی از پارامترهای هندسی و مشخصات اعضا طبق معادله (۱) است [۴ و ۱۱۴].

$$\frac{K}{E I_c / H^3} = f \left(\frac{I_b}{I_c}, \frac{I_k}{I_c}, \frac{I_b}{I_b}, \frac{A}{A_k}, \frac{H}{B}, \frac{h}{H}, \frac{b}{B}, \frac{A_b / B}{I_c / H^3}, \frac{A_c / H}{I_c / H^3}, \frac{A_k / I_k}{I_c / H^3} \right) \quad (1)$$

b, B, h, H, A, I عضو، سطح مقطع
اعضو، ارتفاع قاب، ارتفاع زانویی، طول دهانه قاب و فاصله
افقی زانویی اند که در شکل (۱) مشخص شده‌اند. زیرنویس‌های
c, b, k به ترتیب نشانگر عضو زانویی، تیر و ستون‌اند. تغییر
شکلهای محوری المان خمی در مقایسه با تغییر شکل خمی
آن نا چیز است. بنابراین از سه پارامتر آخر معادله (۱) می‌توان
صرف نظر کرد و آن را به صورت معادله (۲) بازنویس نمود.

$$\frac{K}{EI_c \sqrt{H^3}} = f\left(\frac{I_b}{I_c}, \frac{I_k}{I_c}, \frac{I_k}{I_b}, \frac{A}{A_k}, \frac{H}{B}, \frac{h}{H}, \frac{b}{B}\right) \quad (2)$$

در سیستم‌های KBF عضو قطری باید برای مقابله با کمانش

برای یافتن سیستمهای جدید مقاوم در برابر زلزله با رفتار لرزه‌ای مناسبتر از سیستمهای قبلی است.

در این مقاله ضمن معرفی سیستم‌های جدید قاب خمشی با مهار بند زانویی KBF، محدوده مناسب برای طراحی پارامترهای هندسی که در تأمین سختی لازم این سیستم موثرند، تعیین می‌شود. همچنین رفتار خطی و غیر خطی دینامیکی یک نوع قاب نمونه یک طبقه با مهار بند جدید زانویی KBF تحت تأثیر زلزله‌های ناغان و السترو بررسی می‌شود و رفتار لرزه‌ای آن با سیستم‌های هم محور CBF و برون محور EBF مشابه مقایسه می‌شود. در این مقایسه‌ها، تغییر مکان جانبی، ضرایب برش پایه، افت طبقات و ضرایب شکل پذیری، و روند تشکیل مفاصل پلاستیک در قاب‌ها تحت تأثیر زلزله‌های ناغان والسترو بررسی می‌شود.

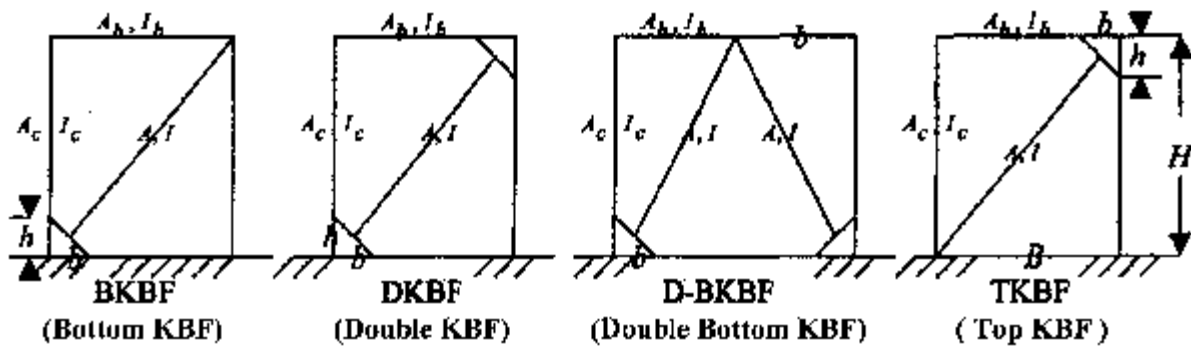
۲- سیستم جدید قاب با مهار پندی زانویی

سیستم قاب با مهار بندی زانویی KBF در سال ۱۹۸۶ توسط آقای پروفسور آریستیزابال اوچوا^۳ معرفی شد و سپس در سالهای ۱۹۹۰، ۱۹۹۱ و ۱۹۹۴ توسط محققان دیگری تعریف دقیقتری از این سیستم ارائه شد [۶، ۹، ۱۰ و ۱۱]. این سیستم شامل قاب با مهار قطری است که یک یا هر دو انتهای عضو قطری به عضو زانویی متصل می‌شود. سختی از طریق عضو قطری و شکل پذیری از طریق تسليم خمشی عضو زانویی تأمین می‌شود. رفتار غیر خطی مناسب این سیستم به رفتار زانویی بستگی دارد، که به صورت فیوز در هنگام زلزله شدید عمل می‌کند و انرژی را از طریق لهیگری خمشی عضو زانویی مستهلك می‌کند.

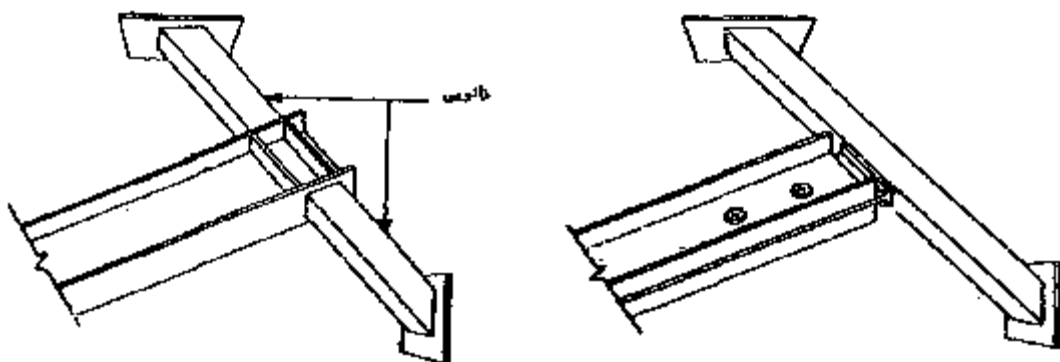
طراحی عضو زانویی دارای اهمیت خاصی است و مقطع آن می‌بایست با رعایت ضوابط مقاطع پلاستیک طراحی شود.

شکل (۱) انواع سیستمهای قابهای با مهار بند جدید زانویی را نشان می‌دهد.

در تحقیقات اولیه انجام گرفته بر روی این سیستمها فرض بر این بوده است که کمانش مهار بند در فشار مجاز باشد، ولی



شکل ۱- چهار نوع قاب خمسی با مهار بند زانویی KBF



شکل ۲- دو نمونه از اتصال بادبند به زانویی [۱۱]

دارند. پارامترها b/B و h/H با توجه به نسبت‌های H/B مختلف برای تعیین سختی قاب دارای اهمیت‌اند. برای بررسی اثر پارامترهای h/H و b/B بر سختی ارتجاعی قابهای $TKBF$, $BKBF$, $DKBF$ ، مقادیر h/H و b/B از صفر تا یک به ازای سه مقدار مختلف $\{0.5 \text{ و } 0.75 \text{ و } 1.0\}$ ، تغییر داده شدند. به این ترتیب تغییرات زاویه عضو زانویی نیز به صورت خودکار در تحلیلها وارد شد. قاب‌ها تحت بار جانبی واحد تحلیل شده و تغییر مکان جانبی آنها محاسبه شد. با تقسیم بار واحد بر تغییر مکان جانبی، سختی جانبی الاستیک هر قاب K تعیین شد. سختی نرمال شده هر قاب نسبت به سختی ستون با تقسیم K بر EI_c/H^3 مربوطه به‌دست آمد. به ازای $b/B=0$ و $h/H=0$ قاب $TKBF$ به قاب CBF تبدیل می‌شود. به ازای $h/H=0$ و $b/B>0$ قاب $TKBF$ به قاب EBF تبدیل می‌شود. به ازای $b/B=1$ و $h/H=1$ یا $b/B=0$ و $h/H=1$ قاب

(معمولًاً حول محور خارج از پلان) طراحی شود. لذا مهار جانبی همانند قابهای EBF نیاز نخواهد بود. چون بادبند بیشترین سختی جانبی را تأمین می‌کند، سختی حاصل از تیر قابل صرف‌نظر کردن است و پارامتر I_b/I_c از حساسیت بالایی برخوردار نخواهد بود. در نتیجه معادله (۲) به صورت معادله (۳) بازنویسی می‌شود.

$$\frac{K}{EI_c/H^3} = f\left(\frac{I_k}{I_c}, \frac{I_k}{I_b}, \frac{A}{A_k}, \frac{H}{B}, \frac{h}{H}, \frac{b}{B}\right) \quad (3)$$

۳-الف- اثر شکل هندسی قاب و موقعیت مهار بندهای

زانویی و تعیین محدوده آنها

شکل هندسی قاب و موقعیت مهاربند زانویی به سه پارامتر H/B و پنجم و ششم معادله (۳) بستگی دارند. پارامتر H/B یعنی نسبت ارتفاع به طول دهانه قاب با توجه به محدودیتهای معماری و اجرایی در طراحی ساختمنها، حدود مشخصی

مشخص شده منحنیهای تغییرات A/A_k با تغییر $K/EI_0/H^3$ ترسیم شدند. همچنین منحنیهای تغییرات $K/EI_0/H^3$ با تغییرات I_b/I_k و با تغییرات I_c/I_k نیز ترسیم شدند. سه نمونه از این منحنیها در شکل‌های (۷-الف، ب و ج) نشان داده شده است.

نتایج نشان می‌دهد به طور کلی سختی قابهای TKBF و BKBF از قابهای DKBF بیشتر است. با افزایش A/A_k هر اندازه H/B به یک نزدیکتر و h/H کوچکتر باشد، سیستم دارای سختی بیشتری است و برای h/H بزرگ، سختی سیستم به مقدار ثابتی میل می‌کند. مقادیر سختی مدل‌های TKBF و BKBF برای مقادیر کوچکتر A/A_k اختلاف چندانی ندارند. با DKBF برای مقادیر کوچکتر A/A_k میل می‌کند. سختی جانبی هر سه مدل KBF افزایش می‌یابد و برای مقادیر کوچکتر H/B و h/H ، سختی سیستم به مقدار ثابتی میل می‌کند. با افزایش I_b/I_k سختی جانبی هر سه مدل KBF افزایش می‌یابد و برای مقادیر کوچکتر H/B و h/H ، سختی جانبی به مقدار ثابتی میل می‌کند.

۴- طراحی قابهای نمونه

برای بررسی رفتار غیر خطی دینامیکی قابهای KBF تحت تأثیر زلزله، قاب محور D از یک ساختمان یک طبقه فولادی منظم که دارای پلان شکل (۸) است و با فرض واقع شدن در تهران، برای مطالعه و بررسی انتخاب شد. این ساختمان در دو جهت و در دهانه‌های کناری دارای سیستم مرکب قاب خمسی با مهاربند TKBF است. اتصال تیرها به ستونها و زانویی به تیر و زانویی به ستون از نوع خمسی و اتصال مهاربند قطری به زانویی و به پای ستون مفصلی و اتصال ستونها به پی گیردار است. بارگذاری قابها شامل بارهای ثقلی و زلزله بر اساس استاندارد ۵۱۹ و آئین نامه ۲۸۰۰ ایران است. قابها با استفاده از آئین نامه AISC-LRFD طراحی شده‌اند. مقاطع با استفاده از ضوابط قسمت دوم آئین نامه AISC مجدداً کنترل شده‌اند.

عضو زانویی برای تسلیم پلاستیک با ظرفیت چرخش کافی از طریق محدود کردن نسبت عرض به ضخامت طراحی می‌شود [۱]. اتصال بادبند به زانویی باید از تغییر شکل جانبی جلوگیری کند، به‌طوری که افت و کاهش ناگهانی در سختی

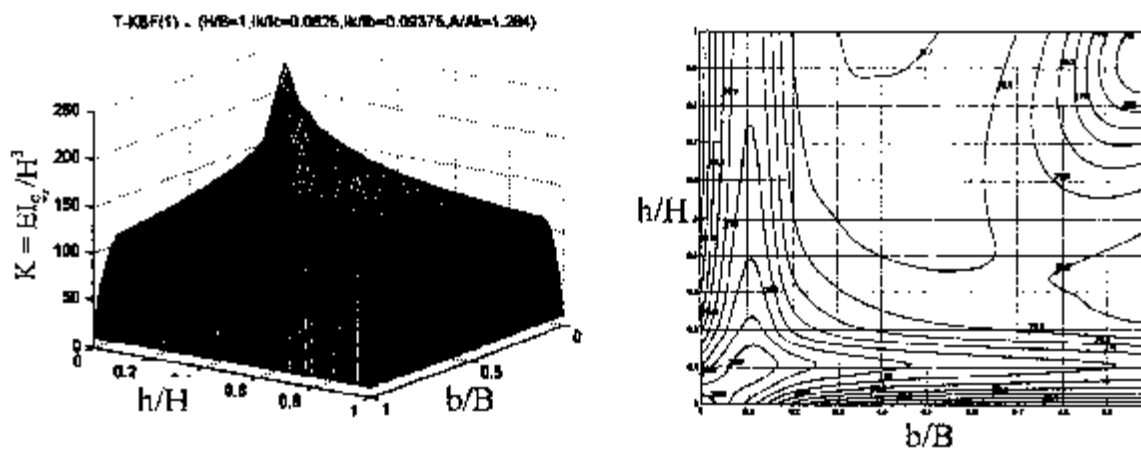
TKBF به قاب MRF تبدیل می‌شود. به ازای $h/H > 1$ و $b/B = 0$ قاب TKBF به قاب با برونو محوری روی ستونها تبدیل می‌شود که آئین نامه‌ها اجازه استفاده از آن را نداده‌اند. لذا با بررسی توأم این پارامترها، چندین نوع دیگر سیستم مقاوم در برابر بار جانبی نیز در تحلیلها وارد شدند. بدین ترتیب به طور مثال موقعیت قابهای TKBF به قابهای CBF و EBF مشخص می‌شود. نتایج حاصل با توجه به پارامترهای موثر، با نرم افزار متلب مورد تحلیل و درونیابی دو بعدی قرار گرفته و بهترین منحنی ممکن از نقاط عبور داده شدند. سپس منحنیهای سه بعدی سختی و منحنیهای هم سختی مربوط به هر قاب برای سه مقدار مختلف H/B نیز همانند پلانهای توبوگرافی ترسیم شدند. شکل‌های (۳)، (۴) و (۵) یک نمونه از این منحنیها را برای هر یک از قابهای TKBF، BKBF، DKBF نشان می‌دهند.

منحنیهای هم سختی بهترین محدوده برای سیستمهای KBF را نشان می‌دهند که در آنها سختی و شکل هندسی به صورت توأم لحاظ شده‌اند. با بررسی سطوح سه بعدی سختی و منحنیهای هم سختی ترسیم شده و تقسیم این منحنیها به چند ناحیه، سطح سختی مناسب برای هر یک از قابهای TKBF، BKBF و DKBF مطابق شکل‌های (۶-الف و ۶-ب) مشخص شده‌اند.

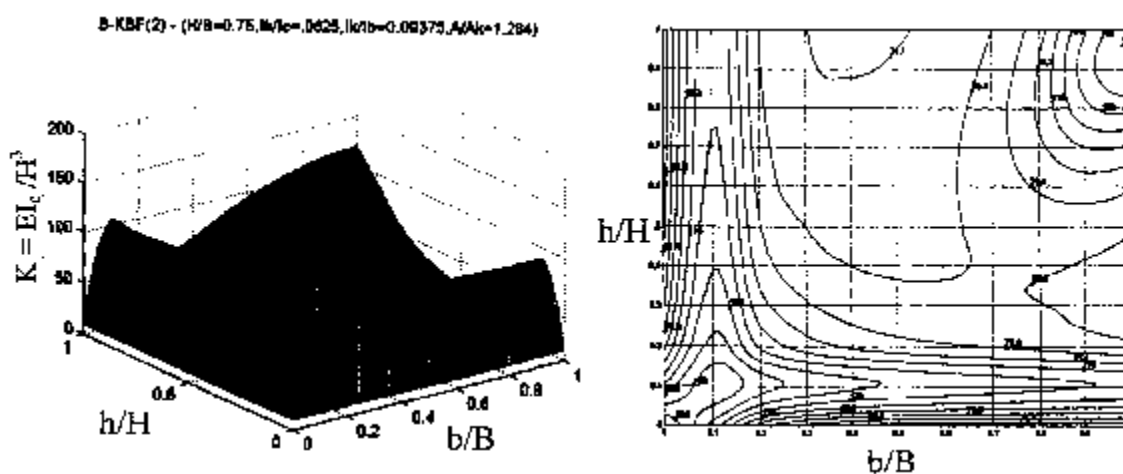
۳- ب- اثر مشخصات اعضا بر سختی جانبی الاستیک

KBF سیستمهای

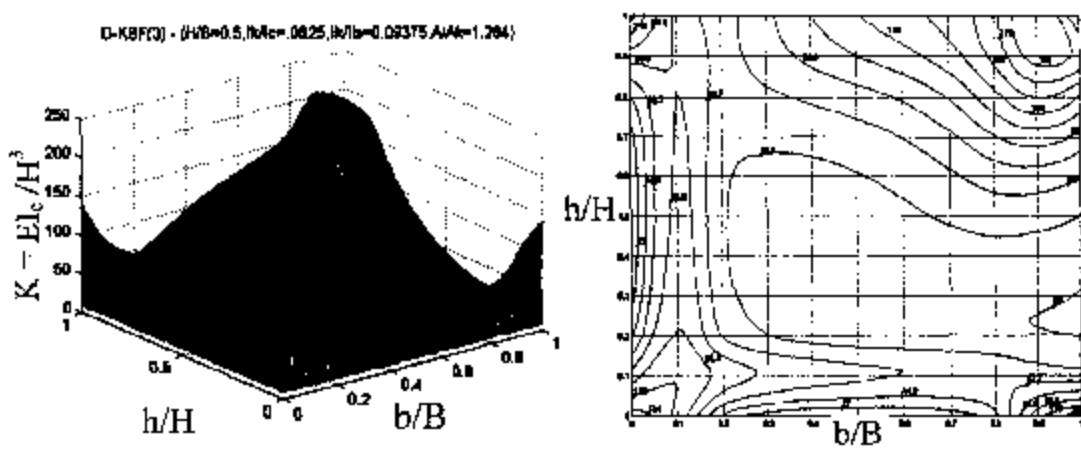
پارامترهای اول و دوم و سوم معادله (۳) به مشخصات اعضا مربوط می‌شوند. برای بررسی میزان تأثیر پارامترهای I_b/I_k و I_c/I_k بر سختی جانبی قابهای KBF، با توجه به نتایج بررسیهای انجام شده در بخش ۳-الف، به ازای $\{0.3, 0.2\}$ و $\{0.1, 0.5, 0.75, 1\}$ $H/B = h/H$ جمعاً ۹ حالت برای هر مدل قاب KBF، مختصات گرهات اتصال زانویی به تیر، ستون و مهاربند تعیین شدند. سپس با تغییر مشخصات مقاطع اعضا، تغییر مکان جانبی قابها تحت بار جانبی واحد محاسبه شدند. پس از تعیین سختی الاستیک قابها، نسبت $K/EI_0/H^3$



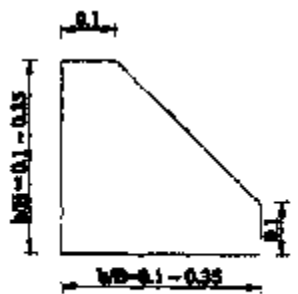
شکل ۳- یک نمونه از سطح سه بعدی سختی و منحنیهای هم سختی سیستمهای



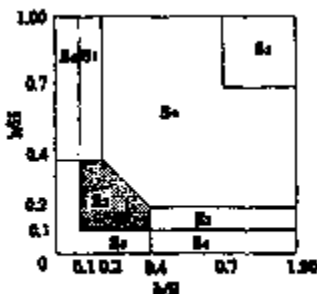
شکل ۴- یک نمونه از سطح سه بعدی سختی و منحنیهای هم سختی سیستمهای



شکل ۵- یک نمونه از سطح سه بعدی سختی و منحنیهای هم سختی سیستمهای

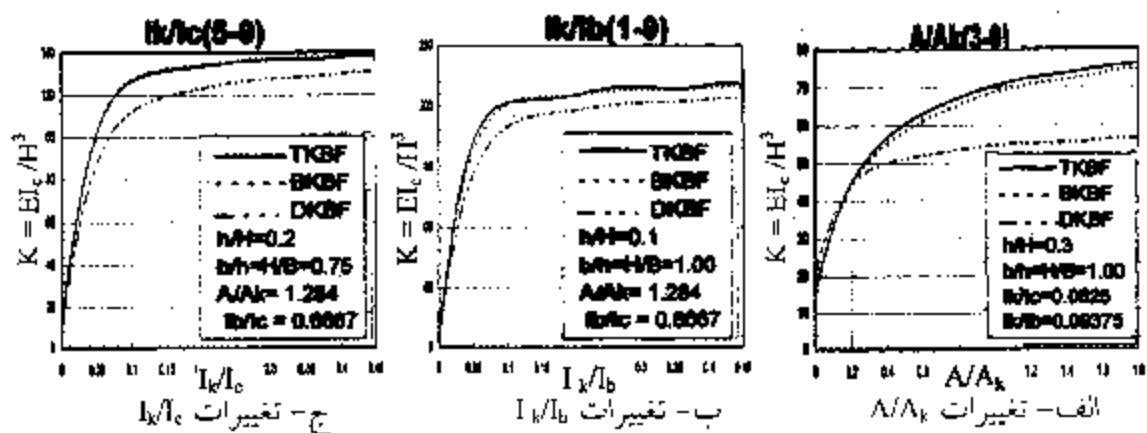


DKBF های ب-قاب

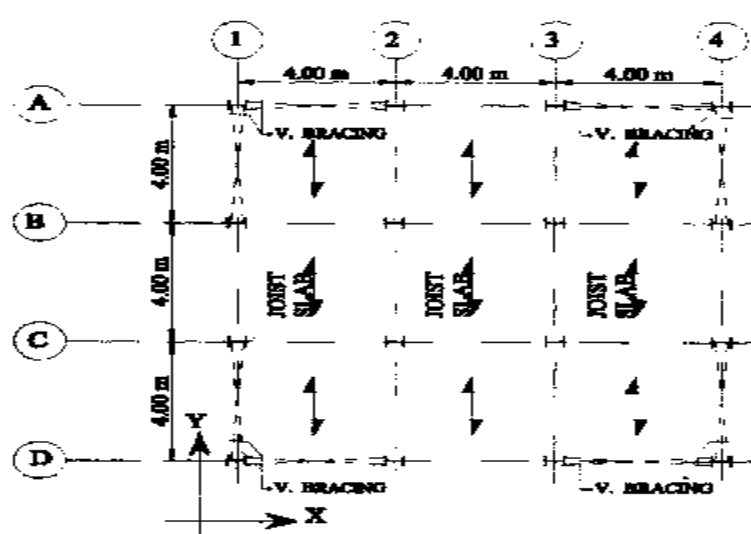


الف-قاب های BKBF و TKBF

شکل ۶- سطوح سختی مناسب برای قابهای DKBF, BKBF, TKBF



شکل ۷- سه نمونه از منحنیهای تغییرات $K/EI_c/H^3$ با I_k/I_c و I_k/I_b و A/A_k



شکل ۸- پلان محوربندی و قاببندی ساختمان مورد مطالعه

شده‌اند، تحت تأثیرشتاب زلزله‌های ناغان ۱۳۵۶ و استترو ۱۹۴۰ شکل (۱۱)، با استفاده از برنامه DRAIN 2DX به صورت تاریخچه زمانی تحلیل شده و با رفتار قابهای EBF و CBF نمونه مقایسه شده‌اند.

نسبت میرایی پنج درصد ثابت فرض شده و ماتریس میرایی تابعی از جرم و سختی در نظر گرفته شده است [۱۲]. کفهای طبقات قاب، صلب فرض شده و تحلیل به صورت دو بعدی انجام شده است. در مدل رایانه‌ای قابهای TKBF برای اعضای تیر، ستون و زانویی از المان تیر-ستون و برای مهاربند قطربی از المان خرپایی استفاده شده است. در مدل قابهای EBF و CBF برای اعضای تیر از المان تیر و برای ستونها از المان تیر-ستون و برای مهاربند از المان خرپایی استفاده شده است. شکل (۱۲-الف) سطح تسليم برای المانهای تیر-ستون، شکل (۱۲-ب) سطح تسليم برای المانهای تیر در قابهای EBF و شکل (۱۲-ج) رفتار غیر ارجاعی المانهای مهاربندی را نشان می‌دهند. سطح تسليمی که در المانهای تیری واقع در مود برش استفاده می‌شود (همانند مدل ۱-EBF)، سطح تسليم معادل است [۵]، به عبارت دیگر از سطح تسليم معادل بالها استفاده می‌شود. در مدل ۲ EBF نیز به دلیل اینکه طول تیر رابط زیاد است، از لنگر تسليم کل مقطع تیر $M_{pf}^* = b_f \cdot t_f (h - t_f)$ استفاده شده است. M_{pf}^* لنگر پلاستیک بالها و b_f ، t_f ، h به ترتیب عرض بال، ضخامت بال و ارتفاع مقطع‌اند.

تغییر مکان ماکزیمم نسی طبقات، ضریب برش پایه ماکزیمم طبقات و شکل پذیری قابها محاسبه و جهت ارزیابی با مقادیر مجاز آیین نامه مقایسه شدن. به منظور بررسی شکل پذیری قابهای مورد مطالعه، تغییرات ضریب برش پایه با حد اکثر تغییر مکان خطی وحداًکثر تغییر مکان غیر خطی آنها تحت تأثیر زلزله‌های ناغان و استترو با اعمال ضرایب متفاوت PGA، برای همه مدلها محاسبه و ترسیم شدند. چند نمونه از این نمودارها در شکل (۱۳) نشان داده شده‌اند. در شکل (۱۴) تغییرات ضریب برش پایه با تغییر مکان جانبی مدلها مورد مطالعه، تحت تأثیر زلزله‌های ناغان و استترو ترسیم شده‌اند.

قباب ایجاد نکند. عضو زانویی باید طوری انتخاب شود که به‌طور جانبی پایدار باشد، بدون اینکه نیازی به مهار جانبی در محل اتصال بادیند قطری به زانویی باشد [۱۱]. لذا از مقاطع تو خالی جعبه‌ای قوطی شکل برای عضو زانویی استفاده شده است.

استاندارد BS5950 اشاره می‌کند که مقاطع تو خالی مربعی نیازی به کترل کمانش پیچشی ندارند. ابعاد زانویی نیز باید طوری انتخاب شود که مقاومت و شکل پذیری لازم را ایجاد کند. طراحی دیگر اعضای قاب نیز باید به گونه‌ای باشد که قویتر از عضو زانویی باشند، به‌طوری که عضو زانویی بتواند به حد تسليم برسد. لذا، در طراحی کلیه قابها، ستونها قویتر از تیرها و هر دو عضو تیر و ستون قویتر از عضو زانویی انتخاب شده‌اند. عضو مهار بند در قابهای TKBF با فرض دو انتهای مفصلی و به صورت محافظه کارانه برای فشار طراحی شده است. به این ترتیب پنج مدل متفاوت برای سیستم مرکب قاب خمی و مهار بند زانویی TKBF با مشخصات ارائه شده در جداول (۱) و (۲) و شکل (۹)، طراحی شد.

دو مدل برای سیستم مرکب قاب خمی و مهاربند بروون محور EBF با بروون محوریهای V_p/M_p و $1.5 \cdot M_p/V_p$ و ۲.۶ و مطابق شکل (۱۰-الف)، و دو مدل برای سیستم مرکب قاب خمی و باد بند هم محور CBF با مشخصات ارائه شده در جدول (۳) و شکل (۱۰-ب)، انتخاب شدند. مقاطع تیرها، ستونها و مهاربندها در قابهای EBF همانند قابهای TKBF در نظر گرفته شده‌اند تا بتوان رفتار این دو سیستم را با هم دیگر مقایسه نمود. مقاطع تیرها، ستونها و مهاربندها در یکی از قابهای CBF همانند قابهای TKBF در نظر گرفته شده است ولی در مدل دوم، عضو مهار بند برای نیروهای کششی طراحی شده است و درنتیجه کمانش عضو مهاربند مجاز است. جدول (۳) مشخصات هندسی قابهای CBF را نشان می‌دهد.

۵- تحلیل دینامیکی غیر خطی قابهای خمی با مهاربند زانویی تحت تأثیر زلزله

به منظور بررسی رفتار دینامیکی غیر خطی قابهای KBF تحت تأثیر زلزله، رفتار قابهای TKBF نمونه که قبلًا طراحی

جدول ۱- خلاصه طراحی پنج مدل قابهای خمی با مهار بند زانویی TKBF

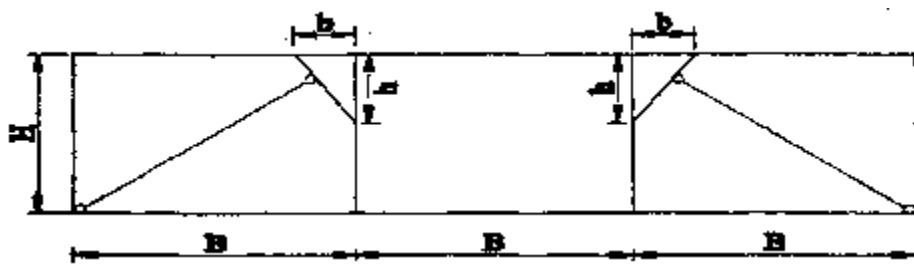
نام مدل‌های TKBF	زانویی		تیر		ستون	مهاربندی
	BOX (cm)	قطع نسبت تنش	قطع انتخابی	نسبت تنش	قطع انتخابی	قطع انتخابی
	۷ × ۷ × ۰,۵	۰/۹۴۸	IPB12	۰/۸۰۹	IPB14	۲UNP12
TKBF-۱	۸ × ۸ × ۰,۰۶	۰/۸۳۶	IPB12	۰/۸۰۲	IPB14	۲UNP12
TKBF-۲	۹ × ۹ × ۰,۴۵	۰/۹۵۸	IPB12	۰/۷۹۵	IPB14	۲UNP12
TKBF-۳	۹ × ۹ × ۰,۰۶	۰/۹۲۳	IPB12	۰/۷۸۸	IPB14	۲UNP12
TKBF-۴	۱۰ × ۱۰ × ۰,۵	۰/۹۰۰	IPB12	۰/۷۸۰	IPB14	۲UNP12
TKBF-۵	۷ × ۷ × ۰,۵					

جدول ۲- مشخصات هندسی مدل‌های TKBF

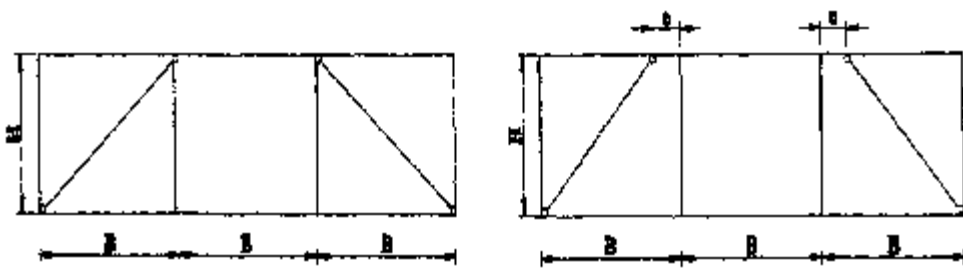
عنوان مدل	B(m)	H(m)	h/H	b/h	h(m)	b(m)	l(m)
TKBF-۱	۴/۰۰	۳/۰۰	۰/۱۵	۰/۷۵	۰/۴۵	۰/۳۳۷۵	۴/۷۳
TKBF-۲	۴/۰۰	۳/۰۰	۰/۲۰	۰/۷۵	۰/۶۰	۰/۴۵	۴/۶۴
TKBF-۳	۴/۰۰	۳/۰۰	۰/۲۵	۰/۷۵	۰/۷۵	۰/۵۶۲۵	۴/۵۳
TKBF-۴	۴/۰۰	۳/۰۰	۰/۳۰	۰/۷۵	۰/۹۰	۰/۶۷۵	۴/۴۶
TKBF-۵	۴/۰۰	۳/۰۰	۰/۳۵	۰/۷۵	۱/۰۵	۰/۷۸۷۵	۴/۳۷

جدول ۳- مشخصات هندسی مدل‌های CBF

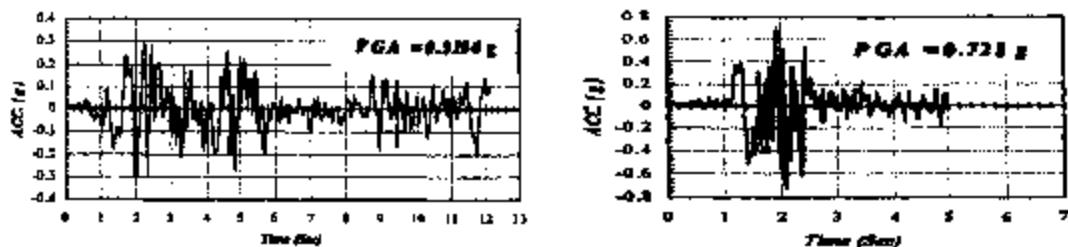
عنوان مدل	B(m)	H(m)	L(m)
CBF-۱	۴/۰۰	۳/۰۰	۵/۰۰
CBF-۲	۴/۰۰	۳/۰۰	۵/۰۰



شکل ۹- مدل قابهای TKBF



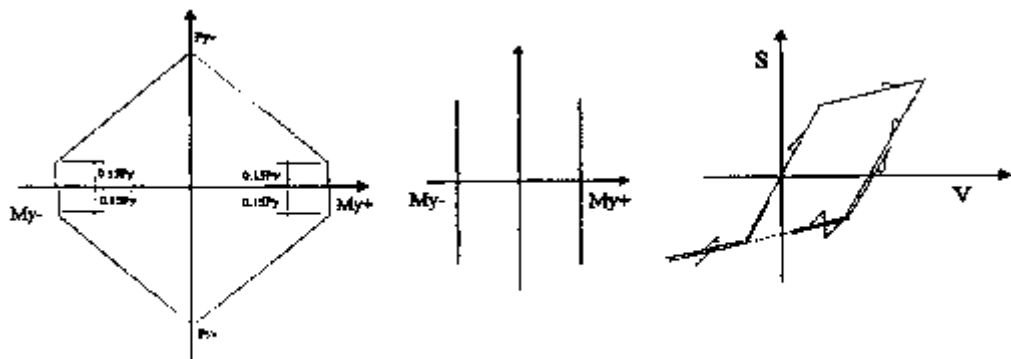
شکل ۱۰- مدل قابهای CBF و EBF



ب- زلزله استرتو ۱۹۴۰ آمریکا

الف- زلزله ناغان ۱۹۵۶ ایران

شکل ۱۱- تاریخچه زمان شتاب زلزله‌های ناغان و استرتو

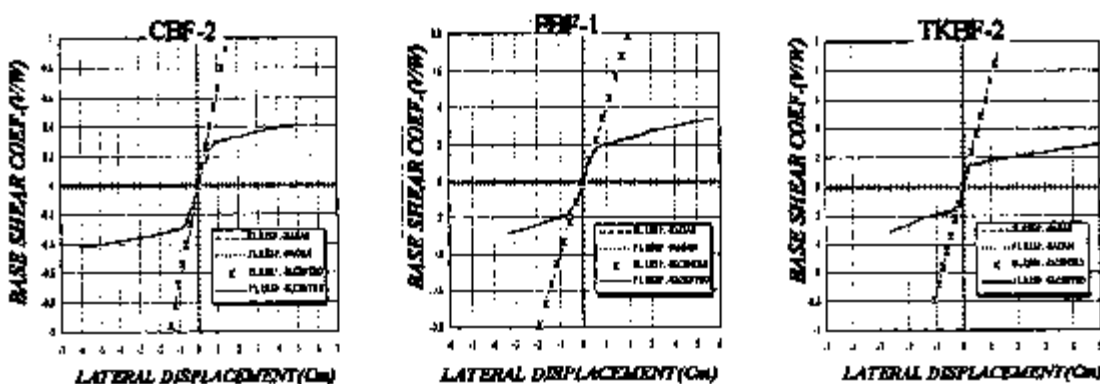


ج- المان تیر - ستون

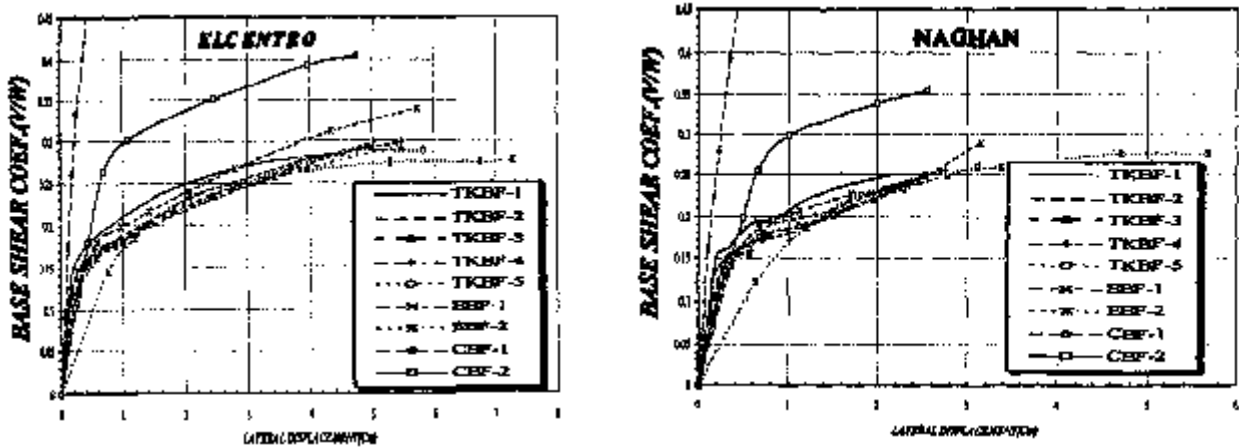
ب- المان تیر

الف- المان خربا

شکل ۱۲- سطوح تسليم و رفتار غیر ارتتعاعی المانهای تیر، تیر- ستون و مهاربند



شکل ۱۳- تغییرات ضریب برش پایه با تغییر مکان جانبی (PGA های مختلف) (استرتو و ناغان)



شکل ۱۴- مقایسه تغییرات ضریب برش پایه با تغییر مکان غیر خطی مدلها (زلزله ناغان)

همچنانکه ملاحظه می‌شود، مدل‌های EBF بیشترین تغییر مکان جانبی را در بین سایر مدل‌های مورد مطالعه دارند و مدل CBF-1 نیز کمترین مقدار ممکن را داراست. از بین مدل‌های TKBF، مدل‌های TKBF-3 و TKBF-4 به ترتیب با نسبت h/H برابر 0.25 و 0.3 از نقطه نظر تغییر مکان جانبی در بین سایر مدل‌های TKBF قرار دارند. بنابراین تحت تأثیر زلزله‌های فوق مدل‌های TKBF در مقایسه با مدل‌های EBF تغییر مکان جانبی کمتری دارند.

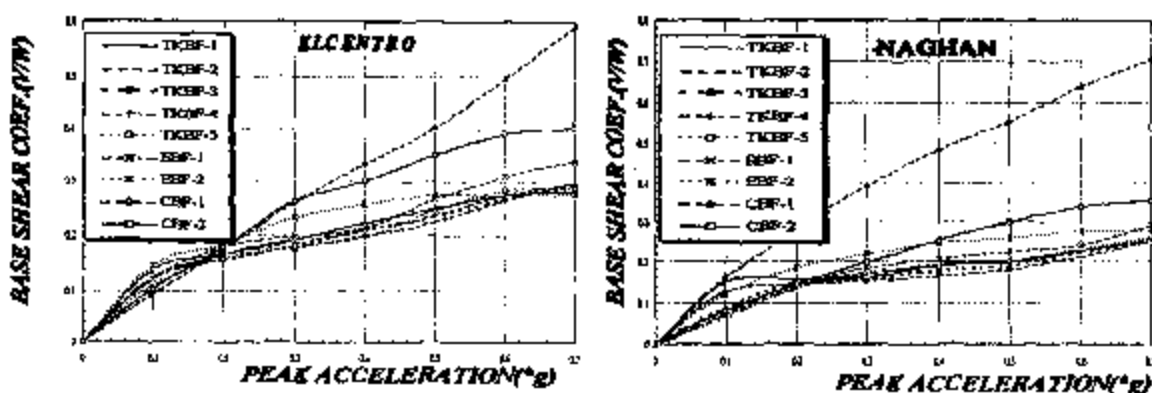
تغییرات حداکثر تغییر مکان قائم طبقات مدل‌های مختلف قابها در برابر تغییرات PGA زلزله‌های ناغان و السنترو در شکل (۱۷) نشان داده شده‌اند.

شکل (۱۸) روند تشکیل مفاصل پلاستیک به ازای های، $0.1g$ و $0.2g$ و $0.3g$ در قابهای مورد مطالعه را نشان می‌دهد. در این شکل‌ها علامت (●) روی اعضای تیر، ستون، مهاربند، زانویی نشان دهنده تشکیل مفاصل پلاستیک و علامت (O) روی مهاربندیها نشان دهنده کمانش اعضای مهاربندی است.

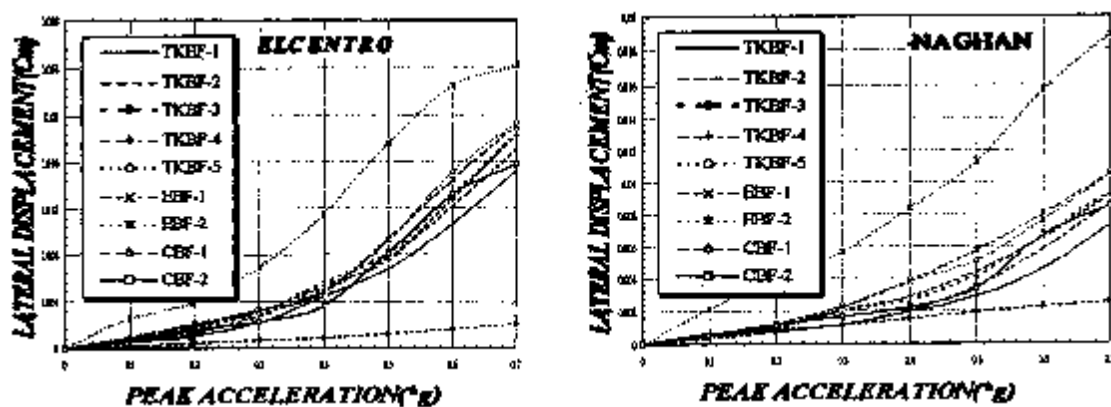
همچنانکه در شکل‌های مربوط به مدل‌های TKBF مشهود است نیروهای زلزله اساساً توسط اعضای زانویی تحمل شده و از طریق لهیدگی خمشی، بارهای زلزله را مستهلك می‌کند. با

همان‌طوری که در شکل‌ها ملاحظه می‌شود، مدل‌های EBF بیشترین ضریب برش پایه را نسبت به سایر مدل‌های مورد مطالعه دارند. در بین مدل‌های KBF نیز مدل TKBF-1 بیشترین ضریب برش پایه را نسبت به سایر مدل‌های TKBF دارد. ضریب برش پایه مدل‌های EBF تقریباً هم سطح با برخی مدل‌های TKBF است. همچنین می‌توان چنین استنباط کرد که ضرایب برش پایه با تغییر مکان جانبی به صورت دو خطی قابل بیان اند. با شبیه‌سازی نمودار (Δ/\sqrt{W}) با یک رابطه دوخطی، ملاحظه می‌شود که شب شاخه اول (ارتجاعی) قابهای CBF-1 بیشتر از سایر مدل‌های مورد مطالعه می‌باشد. در قابهای TKBF نیز با افزایش نسبت h/H شب شاخه یا به عبارت دیگر، سختی، کاهش می‌یابد و این نشانگر این است که سختی ارتجاعی قابهای CBF از قابهای TKBF و EBF بیشتر است و سختی قابهای TKBF در بین سختی قابهای EBF و CBF قرار دارد. تغییرات بیشینه ضریب برش پایه مدل‌های مختلف با افزایش PGA زلزله‌های ناغان و السنترو در شکل (۱۵) مقایسه شده‌اند.

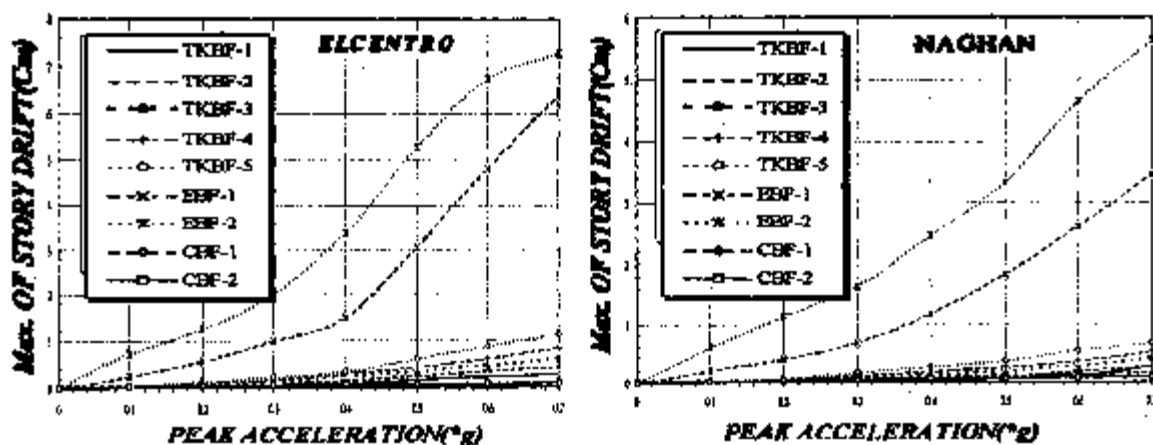
تغییرات ماکریم تغییر مکان جانبی طبقه به نسبت ارتفاع با افزایش حداکثر شتاب زلزله‌های ناغان و السنترو در شکل (۱۶) مقایسه شده‌اند.



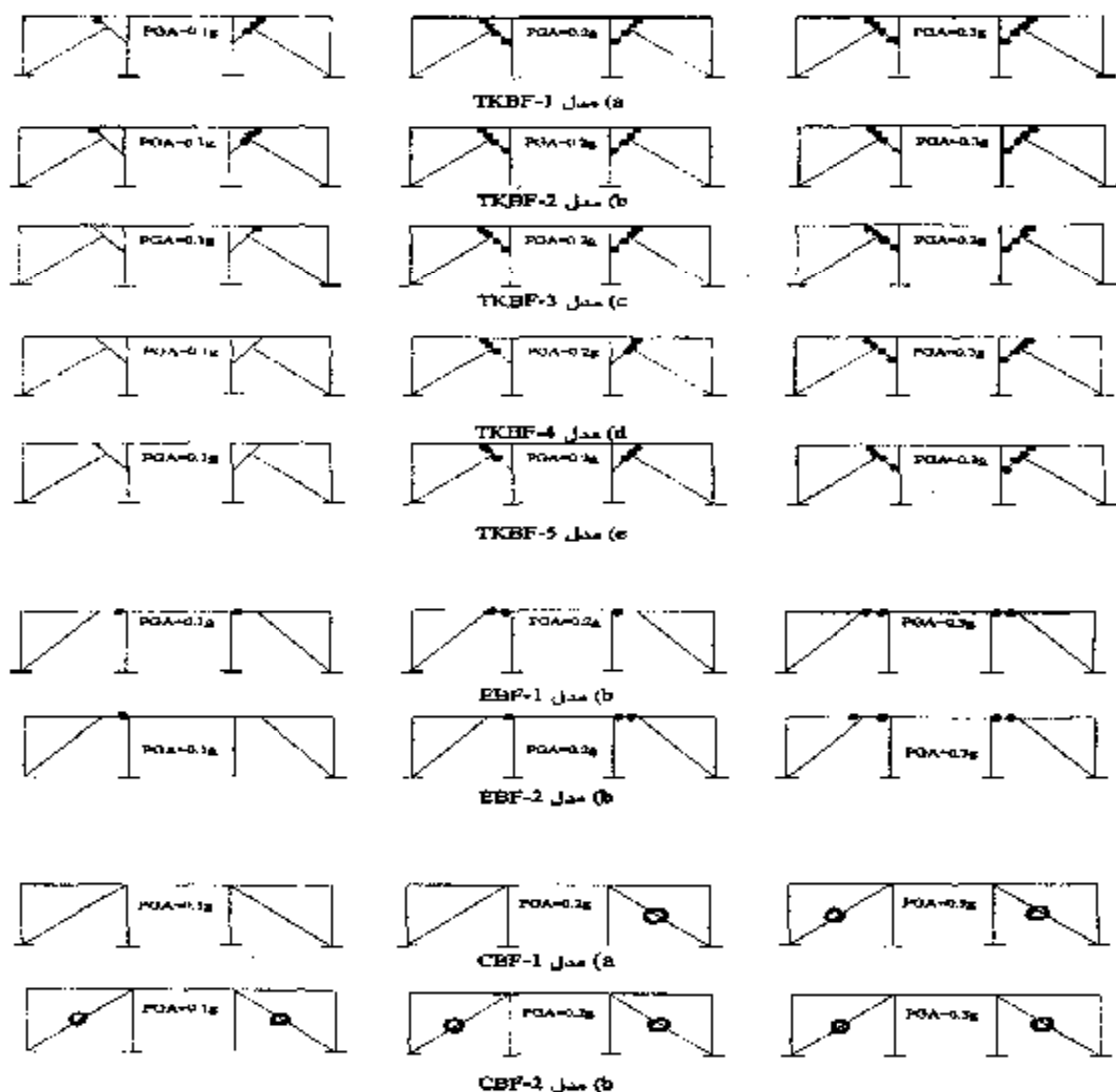
شکل ۱۵- تغییرات ضریب برش پایه با افزایش شتاب مکزیم زلزله‌های ناغان و السترو



شکل ۱۶- تغییرات مکان جانی تغییر مکان جانی طبقه با PGA زلزله‌های ناغان و السترو



شکل ۱۷- مقایسه بیشینه افت طبقه برای مدل‌های مختلف با افزایش PGA زلزله‌ها



شکل ۱۸- روند تشکیل مفاصل پلاستیک قابها تحت تأثیر زلزله ناغان

است. در قاب CBF-1 به ازای PGA های وارد، به علت قوی بودن عضو قطری و زیاد بودن سختی قاب فقط اعضای مهاربندی کمانش پیدا کرده‌اند، اما در مدل CBF-2 به دلیل ضعیف بودن مهاربندی‌ها، اعضای مهاربندی تسليم شده‌اند. با افزایش PGA در قابهای CBF مشاهده می‌شود که مفاصل پلاستیک در ستونها نیز تشکیل شده است.

۶- نتایج

۱- از طریق بررسی اثر پارامترهای هندسی بر سختی ارجاعی قاب‌های یک طبقه KBF و مقایسه سطوح سه بعدی

افزایش نسبت h/H زلزله استر و نسبت به زلزله ناغان اثر بیشتری در تشکیل مفاصل پلاستیک دارد اولین مفصل پلاستیک که در قابهای EBF تشکیل می‌شود، مکانیزم تیر است. پس از این مرحله با افزایش شتاب وارد، تشکیل مفاصل پلاستیک به سطونها نیز گسترش یافته است. این موضوع در مقایسه با مدل‌های TKBF قابل توجه است، برای اینکه در این قابها، اولین مفاصل پلاستیک روی عضو زانویی تشکیل می‌شوند که از اعضای اصلی سازه‌ای محسوب نمی‌شود. اولین مکانیزمی که در قابهای CBF تشکیل می‌شود، مکانیزم کمانش اعضای مهاربندی

۵- ترتیب تشکیل مفاصل پلاستیک در قابهای مورد مطالعه به صورت زیر است:

- قابهای TKBF: زانویی - تیر - ستون
- قابهای EBF: تیر - ستون
- قابهای CBF: بادبند - ستون - تیر

لذا از لحاظ تشکیل و گسترش مفاصل پلاستیک و نوع مکانیزم، قابهای TKBF تحت تأثیر زلزله بهتر عمل می‌کنند. در قابهای TKBF به ازای PGA های پایین فقط اعضای زانویی آسیب می‌بینند ولی در قابهای EBF در تیرهای طبقه مفصل تشکیل می‌شود. در صد تشکیل مفاصل پلاستیک در اعضای اصلی سازه‌ای (تیر و ستون) در قابهای KBF به ازای PGA های بزرگ از قابهای EBF مشابه کمتر است.

۶- شکل پذیری قابهای KBF مورد مطالعه از شکل پذیری قابهای EBF مشابه بیشتر است. شکل پذیری قابهای KBF با زانویی کوتاه بیشتر از قابهای با زانویی بلند است. برش پایه قابهای TKBF با نسبت h/H کوچک، بیشتر از قابهای با نسبت h/H بزرگ است.

۷- نتایج فوق مربوط به بررسی رفتار قابهای یک طبقه است. برای تعمیم و گسترش نتایج، مطالعه رفتار قابهای چند طبقه با سیستم مهار بند زانویی ضروری است.

سختی و منحنیهای هم سختی، بهترین محدوده برای تعیین پارامترهای هندسی که در تأمین سختی لازم سیستم موثرند مطابق شکل (۶-الف) و (۶-ب) تعیین شد. محدوده مشخص شده در شکل (۷-ب) برای هر سه نوع قاب یک طبقه مناسب است. بنابر این $b/B < 0.1$ و $h/H < 0.35$ در طراحی این قابها می‌باشد رعایت شود.

۲- سختی جانبی ارجاعی قابهای KBF بیشتر از سختی جانبی قابهای EBF مشابه و کمتر از قابهای CBF مشابه است. لذا قابهای KBF از لحاظ سختی جانبی رفتار مناسبتری نسبت به قابهای EBF دارند.

۳- تغییر مکان جانبی قابهای با مهاربندی TKBF، کمتر از قابهای EBF و بیشتر از قابهای CBF است. بنابر این قابهای TKBF تحت تأثیر زلزله از لحاظ تغییر مکان جانبی از مدل‌های EBF مشابه رفتار مناسبتری دارند.

۴- قابهای TKBF از لحاظ کنترل تغییر مکان قائم (افت) طبقه از مدل‌های EBF مشابه بیشتر عمل می‌کنند. تیرهای کف در قابهای EBF به علت تشکیل فیوز شکل پذیر بر روی آنها، پس از تسليم افت شدیدی دارند، در نتیجه خسارات و آسیب دیدگی‌های شدیدی بر کف‌های ساختمانی وارد خواهند ساخت. لذا از این نظر نیز قابهای TKBF بر قابهای EBF مشابه برتری دارند.

واژه نامه

1. knee braced frames (KBF)

2. Aristazabal-Ochoa, J. D

مراجع

۱. عسگری، ج.، "بررسی رفتار دینامیکی خطی و غیر خطی قابهای با مهار بند جدید زانویی تحت تأثیر زلزله" پایان‌نامه کارشناسی ارشد، استاد راهنما دکتر دانشجو، دانشگاه تربیت مدرس، ۱۳۷۸.
۲. طاحونی، ش.، طراحی سازه‌های فولادی به روش حالات حدی، چاپ اول، ۱۳۷۰.
۳. کمال زاد، م.، "بررسی اثر پارامترهای هندسی بر رفتار غیر خطی سیستم باد بند KBF." پایان نامه کارشناسی ارشد، استاد راهنما دکتر اردشیر دیلمی، دانشگاه امیرکبیر، ۱۳۷۷.

5. دادخواه چیمه، ا.، "بررسی رفتار قابهای با بادبندی هم مرکز و خارج از مرکز و فرم ترکیبی آنها"، پایان نامه کارشناسی ارشد، دانشگاه تهران، ۱۳۷۵.
6. Balendra, T., Sam, M. T., and Liaw, C. Y., "Diagonal Brace With Ductile Knee Anchor for Aseismic Steel Frame," *Earthquake Engineering and Structural Dynamics*, Vol. 19, PP. 847-858, 1990.
7. Popov, E., and Engelhardt, M., "Seismic Eccentrically Braced Frames," *Journal of Construction Steel Research*, Vol. 10, 1988.
8. Elias G. Abu. Saba, *Design of Steel Structures*, Chapman & Hall, 1995.
9. Sam, M. T., Balendra T., and Liaw, C.Y., "Earthquake-Resistant Steel Frames With Energy Dissipating Knee Elements," *Engineering Struct.*, Vol. 17, No. 5, pp. 334-343, 1995.
10. Balendra, T., Sam, M.T., Liaw, C.Y., and Lee, S.L., "Preliminary Studies into The Behaviour of Knee Braced Frames Subject to Seismic Loading," *Engineering Struct.*, Vol. 13, PP. 68-74, 1991.
11. Balendra, T., Lim E.L., and Lee, S.L., "Ductile Knee for Seismic Resistant Structures," *Eng. Struct.*, Vol. 16, No. 4, P 263-269, 1994.
12. Prakash, V. Powell, G.H. "Drain_2DX User's Guide", Department of Civil Engineering University of California Berkeley, California, 1992.